

可燃性ガス의 爆轟(Detonation)에 對하여

二逆火防止裝置를 中心으로

康 宗 權

〈慶熙大學校 教授〉

序 論

近來 우리나라에서도 高壓ガス安全管理法에 逆火防止裝置을 달도록 規制하는 等 高壓ガス安全裝置에 對한 社會的 關心이 漸次 높아져 가고 있는 것은 꼭 多幸한 일이라 아니 할 수 없다. 高壓ガス 하면 火災나 爆發을 聯想하게 끔 될 정도로 過去 우리 周邊에서 일어났던 大火災나 爆發事故等이 高壓ガ스 特히 液化石油ガ스인 プロパン가스가 主로 事故原因인 되어 社會의 큰 物議를 일으켰던 탓이라고도 생각 된다.

그러나 오늘날에는 プロパン가스 뿐 아니라 水素 酸素 및 アセ틸렌等 爆發의 危險性이 더 높은 高壓ガス가 產業界에서도 널리 能率의 으로 活用되고 있는 것이다. 그러나 이를 高壓ガ스가 자칫 잘못하면 爆發한다는 것은 比較的 널리 알려진事實이다. 이것이 爆發할 때 混合ガ스의 初壓이 높고 爆發範圍가 爆轟(detonation)을 일으킬 수 있을 程度의 濃度를 지니고 있을 경우에는 $1,000\text{kg}/\text{cm}^2$ 의 어마어마한 衝擊波을 隨伴하고 波及速度가 $3,000\text{m}/\text{秒}$ 에 이르는 實로 놀랍도록 빠른 轟波가 무서운 破壞力を 나타낸다는 것은

一般에게는 잘 알려지지 않은 比較的 새로운 事實이다. 우리나라 高壓ガス 安全管理法施行規則(別表 4의 1의 (29))에 依하면 アセ틸렌 充填用支管에는 爆發이나 爆轟이 일어나지 않도록 即 火炎(flash)이] アセ틸렌ガ스管으로 逆流해 들어가지 않도록 하는 逆火防止裝置를 附着하도록 規制하고 있으며 水素, 酸素, 火災 또는 アセ틸렌, 酸素, 火災를 使用하는 施設에도 逆火防止裝置를 施設하도록 法으로 規制하고 있는 것이다.

그 밖에도 エ틸렌, 酸素, プロパン, 酸素의 火炎을 使用하는 경우等에도 爆轟이 일어날 수 있는 것이다. 이와같은 高壓ガス의 爆轟에 對하여 그 basic的 特性과 最近까지 이룩한 先進諸國의 研究結果을 中心으로 爆轟의 構造와 그 強度을 나타내는 特性值와 爆轟이 일어나는 經偉, 그리고 爆轟이 일어나기 쉬운 危險率의 指標가 되는 爆轟誘導距離 直接起爆에너지 및 爆轟限界等에 對하여 그 意義와 測定된 諸資料(Data)에 關하여 著述하고자 한다. 아울러 爆轟을 阻止하기 위한 諸手段으로서 알려진 逆火防止裝置(Flash Back arrester, Flame arrester)의 構造的特性과 性能等에 對하여도 記述하고자 한다.

1. 爆轟(Detonation)의 定義

爆轟(Detonation)은 燃燒傳播의 한 形態로서 이것은 超高速(最大 3,000m/sec)의 燃燒反應에 依하여 持續되는 衝擊波(Shacking Wave)라 할 수 있다. 그 波及速度는 混合가스의 媒質中에서 音速보다 더 빠르고, 一定條件下에서는 一定한 speed로 傳播된다.

爆轟이 생기는 것은 高壓가스에만 限定되어 일어나는 것은勿論 아니며 液體 또는 심지어는 固體의 均質系와 氣體와 固體(粉體爆轟) 또는 氣體와 液體(필름데터네이션(film detonation), 스프레이드테네이션(spray detonation)과 같은 不均質系에서 일어나는 것도 알려지고 있는 것이다.

2. 燃燒와 爆轟(Deflagration and Detonation)

可燃性가스에 點火되면 發生된 火炎은 곧 傳播되어 간다. 이 傳播되어가는 speed는 未燃燒ガス에 對하여는 音速以下(燃燒) 또는 音速以上(爆轟)으로 進行되는 것이다.

萬一 傳播速度가 音速以下일 때에는 燃燒가 일어난 密閉容器中에서 音速으로 均一化되기 때문에 火災의 傳播方向에 對하여 直角을 이루는 斷面에서 받는 壓力은 比較的 적지만 傳播速度가 超音速의 경우(爆轟)에는 壓力이 均一하게 되는 speed가 傳播速度보다도 빨라 때문에 爆轟波가 進行되는 方向에 對하여 直角을 이루는 斷面에서 받는 壓力은 大端히 크다.

3. 爆轟波의 特性

氣體의 爆轟波를 中心으로 基本的事項에 言及하고자 한다.

가. 爆轟波의 構造的 特性

爆轟波의 前面에는 무서운 衝擊波(Shock Wave)가 先行하여 未燃燒 狀態에 있는가를 瞬間의

으로 加熱, 加壓하여 燃燒反應을 急速하게 促進시켜 超短時間內에 安定된 化學平衡을 이뤄 反應을 끝맺는다. 이때 發生되는 熱에너지의 不斷히 衝擊波에 傳導되어 衰退함이 없이 一定한 speed을 維持하면서 進行되는 것이다.

衝擊波는 直進하는 波長이 짧은 單一壓縮波로서 強力한 衝動壓力을 隨伴하는 것이 그 特徵이라 하겠다.

그 衝擊波의 모델(Zeldovickvon Neuman-Dönnig)을 中心으로 衝擊波 背後의 壓力과 溫度 및 密度의 變化를 살펴보면 壓力과 密度가 衝擊波前面에서 急激한 피크(peak)值를 이루고 있는 것을 나타내고 있다. 그리고 爆轟波를 微視的으로 觀測해 보면 衝擊波와 燃燒波가 서로 離合集散을 거듭하면서 進行되는 多頭構造를 나타내고 있는 것을 알 수 있다. 그리고 爆轟界限附近에서는 뛰어오른 構造을 나타내 보이고 있다.

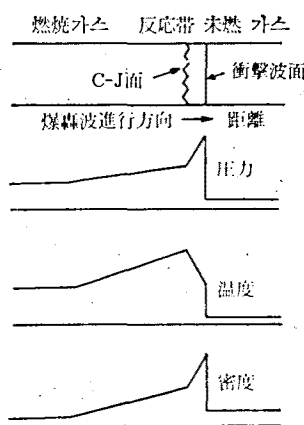


그림 1. 爆轟波의 壓力, 溫度密度의 變化

나. 爆轟波의 特性值

爆轟波의 強度는 爆轟速度와 壓力 및 溫度等으로 나타내게 된다.

이들의 計算值는 燃燒反應의 化學平衡이 超高速으로 일위지므로 1次元의 衝擊波 理論式에 爆轟時 生成되는 가스의 热力學的 狀態를 決定짓

는關係式과 波及速度가 C-J面의 粒子速度와 音速의 合計로서 주어진다는 C-J條件式의 두式을利用하여 얻을 수 있다.

이 計算值는 衝擊波 背後의 化學反應 實3面即 C-J의 安定平衡 狀態에 있어서의 値을 意味하며 衝擊波前面에서 C-J面 까지에 이르는 變化는 10^{-6} 秒間에 일워지므로 實際로는 이를 無視하여도 될 程度이다. 그러나 C-J面에서의 狀態가 維持되는 時間은 10^{-3} 秒 程度로 여겨진다. 이들 計算值는一般的 爆轟波의 경우에는 實測值와 잘一致하지만 爆轟限界附近이나 爆轟으로 轉移한直後에는 實驗值와 반드시一致되지는 않는다. 表 1에는 몇몇 種類의 가스의 C-J特性值와 爆轟波가 空氣中을 透過하는 경우에 空氣의 接觸面에서 일으키는 透過衝擊波의 初期의 値을 나타내고 있다. (表 1 參照)

表 1. 가스爆轟波와 C-J特性值 및 空氣中 透過衝擊波의 初期值($P_1=1\text{atm}$, $T_1=298^\circ\text{K}$)

混合ガス	C-J 特性值		透過衝擊波		
	速度 [m/s]	壓力 [atm]	溫度 [°K]	速度 [m/s]	壓力 [atm]
H ₂ 29.5%-空氣	1,967	15.6	2,951	1,229	14.6
CH ₄ 9.5%-空氣	1,801	17.2	2,783	1,230	14.6
C ₃ H ₈ 4.0%-空氣	1,795	18.2	2,819	1,251	15.1
C ₂ H ₆ 6.5%-空氣	1,819	18.3	2,922	1,260	15.3
C ₂ H ₂ 7.7%-空氣	1,863	19.1	3,111	1,287	16.0
2H ₂ +O ₂	2,834	18.8	3,682	1,468	20.8
CH ₄ +2O ₂	2,392	29.4	3,727	1,611	25.1
C ₃ H ₈ +5O ₂	2,360	36.3	3,830	1,708	28.3
C ₂ H ₄ +3O ₂	2,376	33.5	3,938	1,671	27.0
C ₂ H ₂ +2.5O ₂	2,426	33.9	4.215	1,685	27.5
C ₂ H ₂ +O ₂	2,936	45.8	4,512	1,962	37.3

(1) 爆轟波 前面壓力

爆轟波 前面의 壓力은 可燃性ガス와 空氣의 混合ガス의 경우에는 最高일때 初速의 16~20倍에 達한다. 그러나 可燃性ガス와 酸素의 混合ガス일 때에는 아세틸렌과 酸素의 等를 混合ガ스 일 때가 가장 높아 初壓의 無慮 46倍에 達한다.

可燃性ガス의 濃度에 있어서는 化學量論(stoichiometry)組成보다 若干 높은 濃度에서 最大值를 나타내며 初壓의 變化에 對하여는 正比例 關係를 보여 初壓이 2倍면 波前面의 壓力도 2倍가 된다.

(2) 爆轟波의 波及速度

爆轟波의 波及速度는 可燃性ガス와 空氣의 混合ガ스의 경우 最高 1,800~2,000m/sec程度이다. 그러나 可燃性ガス와 酸素의 混合ガ스일 때에는 最高 2,500~3,000m/sec 程度에 이른다. 可燃性ガス濃度의 變化에 對하여는 化學量論(stoichiometry)組成 보다 높은 濃度에서 最高值를 나타내며 初壓의 增加에 對하여는 若干 빨라지지만 爆轟限界附近을 除外하고는 거의 變化가 없다고 ば도 된다.

(3) 入射壓과 反射壓

爆轟波 前面의 壓力은 爆轟이 進行되는 方向에 對하여 直角을 이루는 斷面에서 받는 壓力으로 나타낸다.

爆轟波를 正面으로 받는 壓力이 反射壓가되고 入射壓의 2~2.5倍의 値을 나타낸다. 剛體面에서 反射된 衝擊波는 그後 衰退되면서 漸次 높은 壓力を 維持한 채 곧 燃燒ガス에 吸收되게 된다. 이와 같은 典型的인 壓力의 測定例를 그림 2에 나

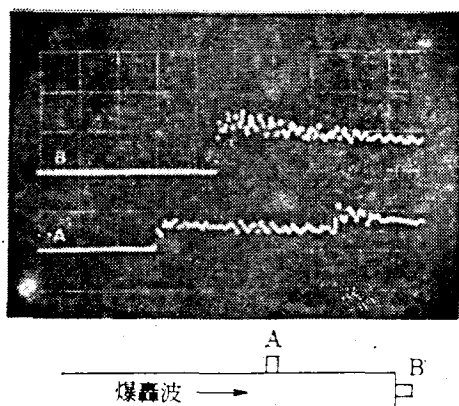


그림 2. 爆轟波의 入射壓과 反射壓의 測定例(水素 30%, 空氣混合ガス, 初壓: 大氣壓)

타내고 있다. 2個所의 壓力計 A, B의 感度는 같은 것을 써서 測定하였다.

(4) 空氣中의 透過

空氣와 같은 不活性ガス 가운데에 爆轟波가 入射 되면 衝擊波는 空氣中을 透過하면서 境界에서 反射을 일으킨다. 反射波는 燃燒ガス 속으로 吸收되어 되돌아 가게 된다. 이 경우 透過하는 衝擊波의 速度와 壓力은 爆轟波와 空氣와의 境界에서 不連續的으로 變化하여 漸次 衰退하면서 空氣中으로 傳播되고 마침내 音波로 變하여 消滅된다. 透過하는 衝擊波의 初期速度 및 壓力의 값은 表 1에 나타내고 있다. 透過하는 衝擊波의 衰退는 爆轟波의 特性과 規模, 透過空間內의 媒質 및 形態에 따라 다른것을 알 수 있다.

4. 爆轟의 始作

爆轟이 일어나는 過程에는 두 種類의 경우가 있다. 하나는 通常의 火災(flame)이 徐徐히 加速化되어 燃燒에서 爆轟으로 變하는 경우인데 이것을 自己起爆(self-initiation)이라 일컬으며 이 경우 「爆轟誘導距離」가 爆轟發生의 可能性에 對한 尺度가 된다. 다른 하나는 點火源에서 直接 爆轟이 생기는 경우인데 이것은 直接起爆(Direct-Ignition) 혹은 이때 點火源에서 나오는 衝擊波가 主된 役割을 다했다는 見地에서 衝擊波起爆(blast initiation)이라 하기도 한다. 이 경우에는 「直接起爆의 限界에너지가 爆轟이 일어나기 쉬운 指標가 된다.

가) 自己起爆

自己起爆은 管속과 같은 制限된 空間에 들어 있는 爆發性 混合ガス에서 容易하게 發生된다. 細長型 管속에 爆發性 混合ガス를 채우고 한 끝에 着火하면 燃燒에 依한 가스 膨張에 따라 未燃燒ガス의 混亂과 그에 따른 火災의 加速化로 未燃燒 가스 속에 壓縮波가 차례로 送出되게 된다.

先行된 壓縮波가 斷熱壓縮을 일으켜 未燃燒ガス는 加溫되며 되므로 뒤에서 나오는 壓縮만큼 그 速度는 빨라지고 그것이 漸次로 쌓여지고 합

쳐져서 衝擊波를 이룬다. 이 衝擊波와 火炎間에 있는 未燃燒 狀態의 가스가 衝擊波에 依하여 高溫高壓으로 發火을 일으키고 또 強力한 爆發을 일으킨다.

이 爆發이 앞서 나가는 衝擊波속에 進入하여 그것을 補強함으로써 安定된 爆轟波를 形成하게 된다. 이때의 狀況을 그림 3에 나타냈다.

그림中 위寫眞은 透明한 水平管속에서 爆轟으로 轉移하는 것을 나타내는 シャッタ開放, 靜止寫眞이다.

燃燒에서 爆轟으로 轉移하는 瞬間에는 極히 높은 壓力과 速度를 나타내며 配管等을 破壞되는 경우가 많다.

最初 가스의 着火로 부터 燃燒, 爆轟으로 轉移하기 까지 火炎이 傳播되는 距離을 爆轟誘導距離라고 한다. 이것은 가스의 種類, 組成, 壓力, 溫度, 管徑 및 管壁의 狀態와 管路上의 障碍物이나 管端의 開放 또는 閉塞狀態等 請要因에 따라 影響을 미친다. 그러므로 爆轟誘導距離는 物質定數는 아니고 裝置에 對한 依存性이 強한 特定值라 할수 있을 것이다. 이를 要因가운데서 가장 큰 影響을 미치는 것은 火災의 加速을 促進하는 要因 即 管中의 未燃燒ガス의 흐름을 混亂시키는 그런 要因이다. 例을 들면 管路속의 障碍物等이다. 管端의 開閉 및 管路에 스파이럴(spiral)線을 넣었을 경우 爆轟誘導距離에 미치는 影響에 對한 實驗結果의 한事例를 表 2에 나타낸다.

表 2. 管端條件 및 管路의 障碍物이 爆轟誘導距離에 對한 影響

管端條件		스파이 蘭綿插入		스파이 蘭綿 없이	
點火端	反點火端	爆轟誘導距離	轉移割合	爆轟誘導距離	轉移割合
開	閉	0.58~0.74m	3/6	3.20m	1/5
開	閉	—	0/5	—	0/5
開	閉	0.33m	5/5	1.57~1.58m	5/5
開	閉	0.32m	5/5	1.53~1.57m	5/5

(管徑 28mm, 管長 9m, 水素 30% 空氣混合ガス스 파이 蘭기리 0.7m의 것 을 點火端에 插入)

내고 있다. 表에 나타나 있는 바와 같이點火하는 管端이 閉塞되어 있는 경우에는點火하는 管端의 反對쪽 끝의 開閉如否에 關係없이 容易하게 爆轟으로 轉移할 수 있다. 그러나兩端이 開放된 管속에서는 爆轟이 일어나기가 가장 어렵다. 이 경우에도 스파이럴線을點火하는 管端에서 分離하여 管路의 途中에 挿入하면 스파이럴線의 끝 部位에서 부터 爆轟으로 轉移하기始作한다. 이런 結果를 보아 스파이럴線과 같은 管路속의 障碍物이 爆轟으로 轉移하는 것을促進하는 事實을 알 수 있다.

나) 直接起爆

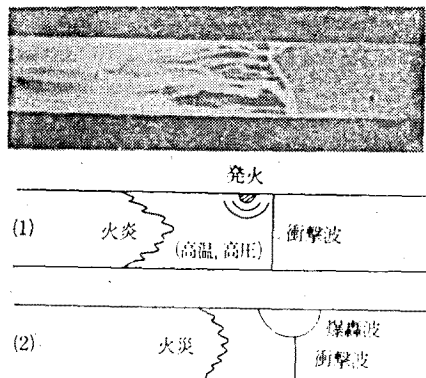


그림 3. 爆轟波를 產生一燃燒에서 爆轟으로의 轉移

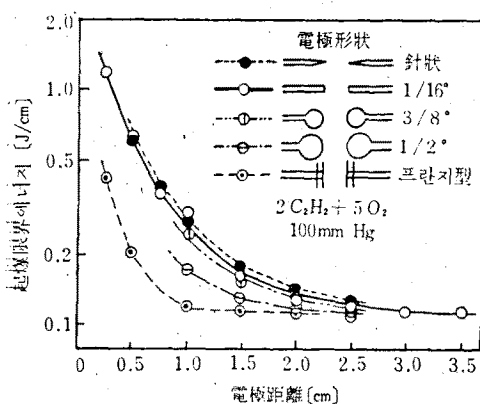


그림 4. 各種電極 形態의 電極距離와 起爆限界에너지

爆轟의 直接起爆이란 衝擊波을 隨伴한 強力한 点火源에 依하여 爆發性 混合ガス를 点火源으로直接 起爆하는 경우를 말한다. 이 경우 点火源의 에너지 크기와 그 特性이 重要的 要素가 된다. 制限되어 있지 않는 廣闊한 空間에서 大量의 可燃性ガス나 蒸氣에 着火되다 境遇, 障碍物이 없으면 火災의 加速化는 일어나기가 힘들므로 自己起爆에 依한 爆轟의 發生은 일어나지 않는다.

이 경우에는 直接起爆에 依하여 爆轟이 發生될 可能性 또는 일어날 條件이 安全上 더 重要하다고 생각 된다.

直接起爆時の 点火源으로서는 實驗的으로 強力한 電氣스파크, 爆藥 및 管中の 水平爆轟波의 投入 등이 利用되고 있다.

① 電氣스파크에 依한 直接起爆

이 경우에는 電極의 形態와 放電特性等이 起爆의 限界에너지에 影響을 준다.

그림 4에 低壓의 아세틸렌과 酸素의 混合ガス의 直接起爆에 所要되는 限界에너지 發生과 電極距離 및 電極의 影響을 나타내고 있다. 그리고 프랜지型 電極의 경우 프랜지表面에서 얻은 구름模樣의 事例를 그림 5에 나타냈다. 그림 4에서 電極距離가 길어지면 單位電極 距離當 起爆限界에너지에는 一定值에 漸次 가까워진다. 그러므로 電氣스파크와 같은 線狀의 點火源에서는 單位기

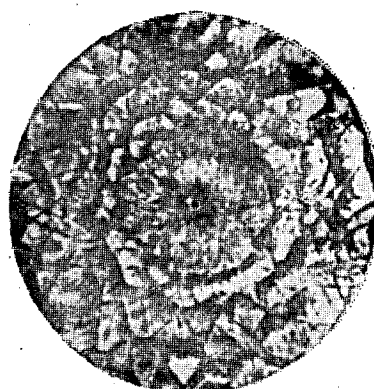


그림 5. 프랜지型電極의 그으름(媒)模樣
($2\text{C}_2\text{H}_2 + 5\text{O}_2$, 初壓: 50mmHg)

리當 에너지의 最少값을 起爆의 限界 에너지로 나타낼 수가 있다.

이때의 에너지는 當初콘텐사에 備蓄 되었던 全에너지($1/2CV^2$)는 아니고 起爆에 有効하게 作用하는 에너지 크기이다. 即 放電에너지의 出力(power)이 最大일때 放出된 스파크 에너지가 일으키는 衝擊波의 強度가 問題이니 其後 放出되는 에너지는 起爆過程에 何等寄與을 하지 못한다. 實際로 有効한 에너지는 $1/2CV^2$ 의 $1/10$ 程度로 보고 있다.

그러나 이와같이 하여 求하는 測定例는 드물고 電氣스파크로 直接起爆할 수 있도 가스는 可燃性ガス와 酸素의 混合ガス와 같이 比較的 爆轟이 일어나기 쉬운 系列에 限定되고 있는 것이다.

② 爆薬에 의한 直接起爆

安全上 重要한 可燃性ガス와 空氣의 混合ガス가 廣闊한 空間에서 爆轟을 일으키는데는 더욱 強力한 點火源이 必要하다.

이 경우 實驗의으로 爆薬을 起爆源으로 쓰는 경우가 많고 直接起爆의 難易度는 起爆에 必要한 最少의 爆薬量 或은 그 化學에너지로서 評價할 수가 있다.

表 3에 사는 몇 가지 種類의 可燃性ガス에 對한 直接起爆에 所要되는 爆薬量과 實驗結果을 나타내고 있다.

表 3. 廣闊한 空間에서의 可燃性ガス와 空氣의 混合ガ스의 直接起爆에 所要되는 爆薬量

可燃性ガス	使 用 爆 薬	限界薬量	備 考
프로필렌옥사이드	Datasheet (Dupont)	3.5g	
에틸렌	벨즈리드	10g	
"	테트릴	15g	
에탄	"	40g	
프로판	"	80	
보탄	"	80	
메탄	"	22kg	外挿值
메탄	Datasheet (Dupont)	4kg	

③ 管속의 平面爆轟波 打入에 依한 直接起爆

表 4. 可燃性ガス, 空氣의 爆轟의 危險指數(D^H)

(A)=可燃性ガ스와 酸素의 混合物

D^H 가스·蒸氣

1. 아세틸렌

10¹ 옥사이드(메틸렌옥사이드, 프로필렌옥사이드)메틸아세틸렌, 프로판지엔 亞塞酸에틸

10² 오레핀(에티렌, 프로필렌)시크로프로판, 메틸비닐에테루弗化비닐

10³ 팔라핀(에탄, 프로판, 브탄, 헥산) 디에틸에테루 아세트알데히드, 水素

10⁴ 메탄

(B) 可燃性ガス와 空氣의 混合物

D^H 가스, 蒸氣

10⁵ 아세틸렌

10⁷ 옥사이드(에틸렌옥사이드, 플로필렌옥사이드)亞塞酸아민 亞塞酸풀로핀

10⁸ 오레핀(에틸렌, 플로필렌)Mapp. 亞塞酸풀로핀 50%+石油 에테루 또는 벨젠 또는 니트로에탄 또는 燈油 各 50% 混合物

10⁹ 파라핀(에탄, 프로필)디옥산, 水素

10¹¹ 메탄

D^H =燃料의 最少起爆界限 에너지
아세틸렌 酸素混合ガス의 最少起爆界限에너지

廣闊한 空氣中에서 爆發性 混合ガス를 直接起爆시키는 方法으로서는 一旦 容易하게 발생시킬수 있는 管속에서 爆轟波를 일으키고 거기에 接續된 같은 가스의 組成을 가진 廣闊한 空間에打入시켜 爆轟을 發生시켜 限界管徑을 求하는 實驗이 Zeldsvich, Freiwald, Ginsburgh等에 依하여 行해 졌으며 그 結果 起爆에 必要한 限界管徑과 限界爆藥量과의 사이에 相關關係가 있다는 事實을 認定하게 되었다.

그들은 이 方法을 써서 各種 可燃性ガス에 對

하여 酸素中에서나 또는 空氣中에서 直接起爆의 限界管徑을 外挿法을 써서 測定하였다. 또한 이 값과 爆轟波의 特性值에서 그때마다 에너지를推算하였고 從來 얻었던 電氣스파크나 爆藥에 依한 結果을 整理하여 比較值를 내게되었다.

이와 같이 各種ガス의 直接起爆이 일어나기 쉬운 程度를 起爆限界에너지로 評價하여 이것을 相對的으로 나타내는 것을 試圖하였고 그 結果 여러가스를 爆轟이 일어나기 쉬운 程度에 따라 몇개의 구름으로 區分하였던 것이다. 그 結果가 表 4에 나타나 있다. 表가운데 D_{1f} 는 가장 爆轟이 일어나기 쉬운 아세틸렌과 酸素의 混合ガス의 最小起爆 限界에너지($0.4 \times 10^{-3} \text{J}$)을 1로 볼 경우 다른 것은 그 몇배의 起爆에너지가 必要한지를 나타냈다. 表 4에서 가스 種類에 따라 起爆에너지에 있어서 큰 差가 있는것을 알수 있다 또한 같은 가스라도 酸素中과 空氣中에서 起爆에너지가 10^6 倍나 큰 差를 나타냄도 보여주고 있다. 이런 結果을 보아 過去에 廣闊한 空間에서 일어났던 蒸氣爆發 事故에서도 거의 大概의 경우 直接起爆에 依하여는 爆轟이 생기지 않았던 것으로 여겨진다. 왜냐하면 起爆에 必要한 에너지는 通常 얻을 수 있는 點火源의 에너지를 輸신 넘고 있기 때문이다. 그러나 實際事故의 경우에는 部分的인 空間의 制限條件과 地上에 있는 여러 障碍物 때문에 일어나는 火炎의 加速으로 因하여 爆轟으로의 轉移可能性이 커지므로 問題가 되는 것으로 여겨진다.

5. 爆轟의 限界

爆轟의 限界에는 組成限界(不活性ガス에 依한 稀釋限界 包含), 壓力限界 및 管徑限界가 있다. 이런 限界는 相互 關聯되어 있으며 그 限界는 다른 두 條件을 固定시킬 수 있을 때 비로서決定지를 수가 있다. 水素와 酸素系에서의 限界值測定例를 表 5에 나타냈다.

通常 利用하는 限界值는 壓力이 大氣壓力에서 여러 管徑에 있어서 가스가 가지 濃度限界를 나

表 5. H_2-O_2 系의 爆轟限界測定例

	壓 力	管 徑	H_2 濃度	文 獻
組 成 限 界	1氣壓	10cm	10~85%	(17)
壓 力 限 界	23mm Hg	2.7cm	50%	(18)
管 徑 限 界	1氣壓	0.25cm	60%	(19)

타내는 경우가 많다. 여기서는 爆轟限界가운데 主로 大氣壓力에서의 爆發性 가스의 濃度限界와 起爆方法과 管徑의 影響에 對하여 記述한다.

이미 言及한 바와 같이 爆轟이 일어나는 過程에는 두 가지 경우가 있어 濃度限界的 測定方法도 兩種類로 大別할 수가 있다. 하나는 管中에서 燃燒로부터 爆轟으로 轉移가 일어나는 限界組成을 測定하는 方法이다. 이 경우 弱한 點火로서 生긴 火炎을 充分히 加速시키기 위하여는 大端히 긴 爆發管이 必要하고 測定된 限界組成도 裝置 依存性이 強하여 一般性이 없는 缺點이 있다. 그러나 實際 事故狀況은 이와같이 爆轟이 일어나는 경우가 많은 것이다.

또다른 한方法은 衝擊波를 隨伴하는 強力한 點火源으로서 爆轟을 直接 일으키는 方法이다. 球狀의 容器를 써서 強力한 電氣스파크나 爆藥을 點火源으로 쓰는 方法인데 이 경우 생기는 爆轟波는 球面을 이룬다. 點火源으로부터의 衝擊波의 衰退가 甚해지므로 爆轟이 생기기 어렵고 얻을 수 있는 限界濃度範圍도 좁은 경우가 많다.一般的으로 限界濃度의 測定에는 그림 6에 나타낸 것과 같은 爆轟波管이 쓰이며 起爆시키기 쉬운 可燃性ガス와 酸素系管中에서 發生된 平面爆轟波를 試料ガス속에打入하여 限界濃度를 測定하는 方法이 쓰인다. 이 경우 測定에 쓰이는 管徑이 限界濃度에 影響을 미친다. 水素와 空氣의 爆轟 限界濃度에 미치는 管徑의 影響에 對하여 爆轟波로 起爆한 경우의 測定例를 그림 7에 나타냈다. 여기서 管徑이 無限大가 되는 경우 가장 넓은 限界濃度가 所要된다. 그러나 實際로 解放된 空間에서 爆轟이 일어나기가 가장 어렵다

는 것은 이미 記述한 바와 같다.

여러 方法으로 测定한 몇 개의 可燃性ガス와 電氣系의 爆轟 限界濃度範圍을 表 6에 나타냈다. 表에서 爆轟 限界濃度는 起爆方法이나 测定容器의 形態에 따라 크게 다른 것을 알 수 있다.

自己起爆의 경우에는 管徑이 커지면 아세틸렌이나 에릴렌우사이드로 爆轟을 일으키지 않으며 反對로 直接起爆으로 管徑이 클 수록 爆轟範圍도 넓어지고 나아가서 點火源의 에너지가 크면 燃燒 限界보다 넓은範圍에서도 爆轟이 생기는 경우가 있다. 이것은 分明히 強한 衝擊波를 주면 燃燒範圍內의 가스는 어떤 것이거나 모두 爆轟을 일으킬 수 있다는 것을 나타내고 있다.

爆轟 限界自體는 本質的으로 起爆過程에 따라 달라지는 것이 아니지만 實際上 爆轟을 일으키는데는 起爆方法에도 큰 問題가 있는 것이다. 即 廣闊한 空間에서는 爆轟은 잘 일어나지 않으나一旦 생긴 爆轟波의 傳播는 容易하다는 것이다.

爆轟의 限界值를 利用 하여 하면 點火源의種類나 容器의 形態, 管徑, 障碍物의 存在如否, 空間의 制限等을 考慮하여 適正한 評價를 내려야 할 것이다.

6. 爆轟의 阻止

高壓ガス의 爆轟으로 因한 事故의豫防對策은 點火源의 排除 또는 가스漏洩의 防止等 基本的으로는 一般防爆對策과 同一 하지만 爆轟이 일어나지 않도록 이미 앞에서 記述한 諸對策을 講究해야 할 것이다.

一旦 爆轟이 일어난 後에 爆轟波을 阻止하거나 被害를 最少限으로 減少시킨다거나 하는 方法은 一般 가스爆發을 抑制하기 위하여 쓸 수 있는 方法과는 判異하다. 例을 들어 安全破裂板등으로는 爆轟波을 거의 有効하게 防止하거나 排出할 수는 없는 것이다.

廣闊한 空間에서 일어난 爆轟에 對하여는 于先 安全距離을 充分히 維持하고 防爆壁을 設置하는 等의 方法을 取하지만 實際 壁外側에서는 壓力

을 輕減시킬 수 있으나 오히려 壁內側에서는 反對로 反射波 때문에 壓力이 높아진다는 것만 보아도 알 수 있다.

小容器나 管속에서 일어나는 爆轟波에 對하여는 爆轟壓力에 能히 견딜 수 있는 強度을 지닌 材質의 管을 使用할 수는 있다. 爆轟壓力의 持續時間이 通常 가스의 燃燒爆發時의 壓力持續時間에 比하여 大端히 짧기 때문에 支撐이 可能하다고 보지만 爆轟波의 경우에는 衝擊壓力로서의 破壞가 效果가 아직도 不分明한 點이 많으므로 爆轟으로 轉移할 때의 過大한 壓力과 反射壁에 依하여 管路一部과 破壞되는 경우가 흔히 있을 수 있는 것이다.

가. 爆轟波防止裝置의 原理

爆轟波防止裝置는 主로 可燃性ガス가 흐르는 配管內에서 일어난 爆轟波의 傳播을 阻止함으로써 裝置나 設置에 被害가 擴大 되는 것을 防止하기 위하여 配管의 途中에 設置하는 防護裝置(protector)이다. 爆轟波의 傳播을 阻止하려는 爆轟波에 隨伴되는 衝擊波을 弱化시키고 爆轟波의 傳播을 持續시키는 役割을 하는 燃燒波에서 热과

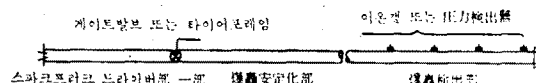


그림 6. 爆轟界限의 测定裝置

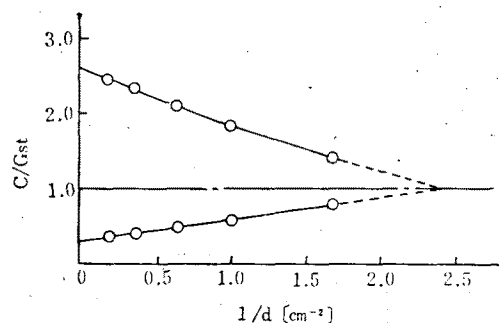


그림 7. 水素와 空氣混合ガス의 爆轟限界에 있어서의 其管徑과 濃度의 關係(C: 水素濃度, Cu : H₂ 29.5% d : 管徑)

炭化水素의 基(radicals 例 OH基)을 奪取하여 燃燒波를 消滅시켜야 한다.

이를 위하여 衝擊波의 緩衝 또는 爆轟의 中斷等을 促進하는 機構을 마련하여 固體細隙에 依하여 火炎을 冷却시키고 機械的 흐름을 遞斷함으로써 未燃燒가스의 供給을 斷絕하는 等의 方法을 取하여야 한다.

火炎은 적은 空間에서는 傳播되지 않고 冷却되어 消失되는 現象을 나타낸다. 이것을 消炎이

라고 부르고 그런 性質을 가진 物質을 消炎素子라 부른다.

위에서 말한 細隙이란 消炎效果를 設 수 있는 特定가스의 消炎距離 以下의 작은 空間을 말하는 것이다.

그리고 火炎이 傳播될 때 細隙속에서 消失되어 더 傳播가 進行되지 않는 限界의 特定가스의 直徑을 그가스의 消炎直徑이라 하는데 爆轟波의 경우에는 그 消炎直徑이 燃燒波의 에 比하여 훨

表 6. 燃料 空氣混合ガス의 爆轟範囲의 測定值 (初壓: 大氣壓)

燃 料	爆轟範囲(vol%)		起 爆 方 法	測定容器	
	下限界	上限界		徑(cm)	거리(m)
水 素	27	35.5	自 己 起 爆 ($2\text{H}_2 + \text{O}_2$ 爆轟波)	(2) 유리管 (2.5)	40
	18.3	59		30.5	12.2
	15	63.5	爆 薬 (強社 氣體爆轟波)	∞ (外挿法)	2.4~3.0
	9.0	76.5			
メ 탄	6.5	12	아마토루 70g	30.5	12.2
	6.5	13.5			
아 세 틸 렌	爆轟안일어남		自 己 起 爆	60	50
	6.6	15.3		(2) 유리管 (2.5)	40
	6	25	雷管+펜스릿트 7g ($2\text{H}_2 + \text{O}_2$ 爆轟波)	1847의 고무 (2.5)	風 船
	4.2	50	펜스릿트 10g	60	50
	2.0	100			
에 틸 렌	5.3	9.1	自 己 起 爆 $\text{C}_2\text{H}_6 + 5\text{O}_2$ 爆轟波 펜스릿트 20.3g	8	27
	3.3	14.7		7	18
	2.8	18		15	15
에 탄	2.9	12.2	$\text{C}_2\text{H}_6 + 5\text{O}_2$ 爆轟波	7	18
에틸렌옥사이드	爆轟안일어남		自 己 起 爆 테 트 릴 10g	60	50
	5.3	18		60	50
	>30		" 100g	60	50
에리눌(100°C)	5.1	9.8	3.25% $\text{C}_4\text{H}_{10} - \text{O}_2$ 爆轟波	1.3	1.5
프로필 렌	3.5	8.5	시 드 爆 薬 800g	고무 막 1.8×1.8×7.6	18
	3.5	10.4	$\text{C}_3\text{H}_8 + 5\text{O}_2$ 爆轟波		
포 로 핀	爆轟안일어남		自 己 起 爆 시 드 爆 薬 800g	60	50
	3	7		고무 막 1.8×1.8×7.6	18
	2.6	7.4	$\text{C}_3\text{H}_8 + \text{O}_2$ 爆轟波		
	2.2	9.2	펜스릿트 10g	60	50

보 탄	2.5 2.0	5 6.2	시 드 爆 药 800g $C_3H_8 + 5O_2$ 爆轟波	고무팩 1.8×1.8×7.6 7 18
에 텐 에 태 르	2.8	4.5	($2H_2 + O_2$ 爆轟波)	(2.5)
벤젠 (100°C)	1.63	5.55	3.25% $C_6H_6 - O_2$ 爆轟波	1.3 1.5
거울탄 (100°C)	1.45	2.85	"	1.3 1.5
硫化水素	6.5	21	벤스 렛 트 20.3g	15 15

() 内는 推定條件.

천 작아지는 것이다.

나. 爆轟波 防止裝置의 種類와 그 性能

一般的으로 우리나라에서 逆火防止裝置(flash Back Arrestor)라하면 燃燒波의 火炎(flame)을 阻止하는 火炎防止器(flame arrester)와 爆轟波(detonation wave)의 火炎을 防止하는 裝置(flash back arrester)을 總稱하는 말이다.

逆火防止裝置의 機構는 좁은 直徑의 細隙 또는 通路로 되어 있어 그곳을 通過하여 가스는 흐르지만 火炎(flash flame)은 그곳에서 冷却, 消滅시키는 性能을 갖춘 裝置로서 火炎에 逆流하기 쉬운 配管에 設置하는 安全裝置이다.

① 逆火 防止裝置의 種類와 一般的 性能

i) 裝置에는 水封式과 乾式이 있다. 水封式은 가스를 물 또는 不燃性 液體속을 氣狀態로 通過시키므로서 가스의 흐름을 分斷하여 爆轟의 傳播를 阻止하려는 것이다.

이것은 消炎이 確實하여 大容量의 管路에 適當하지만 가스가 濕하게 되는 缺陷이 있고 裝置內의 水位를 點檢하기가 어려운 短點이 있다. ii式은 主로 $1kg/cm^2$ 以下의 溶接用 아세틸렌의 配管에 많이 쓰인다. (그림 8 參照) 그러나 물과 作用하기 쉬운 다른 가스(例, 水素等)等에는 使用하지 않는다.

乾式裝置는 消炎素子로서 團體細隙이 쓰인다. 主로 金網(meshnet) 燃結金(sintered metal) 發泡金屬(metal foam), 基他金屬리본, 스틸울(steel wool), 炭素粒等이 쓰인다.

細隙의 直徑이 적을 수록 阻止能力도 커지지

만 가스의 流通抵抗도 따라서 增加되는 흄이 있다. 例를 들어 燃結金屬은 細隙을 이루고 있으나 流通抵抗이 가장 높은 短點을 지니고 있는 등과 같다.

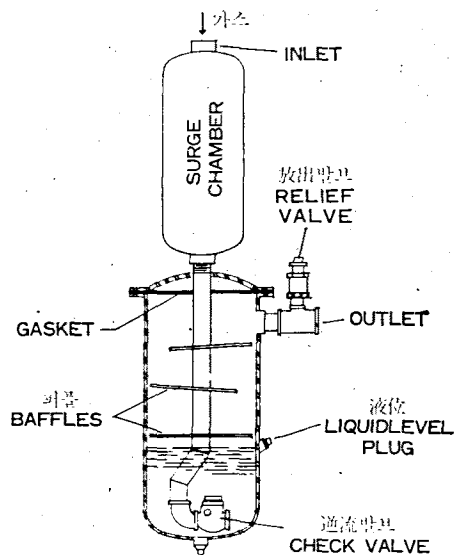
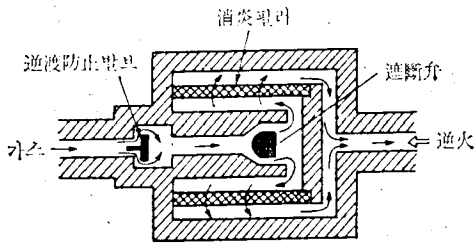


그림 8. 水封式 逆火防止裝置의 構造(아세틸렌 溶接專用), $1kg/cm^2$ 以下.

아세틸렌과 酸素系統과 같이 大端히 強力한 爆轟波을 阻止하려면 超過細隙이 必要한 것이다.

가스 溶接에 쓰이는 토치(torch)에는 아세틸렌과 酸素의 混合ガス가 많이 쓰이는데 火口에서 逆火되는 것을 防止하기 위하여 小型의 逆火防止器가 實用化되고 있다(그림 7 參照).

例 1.



例 2.

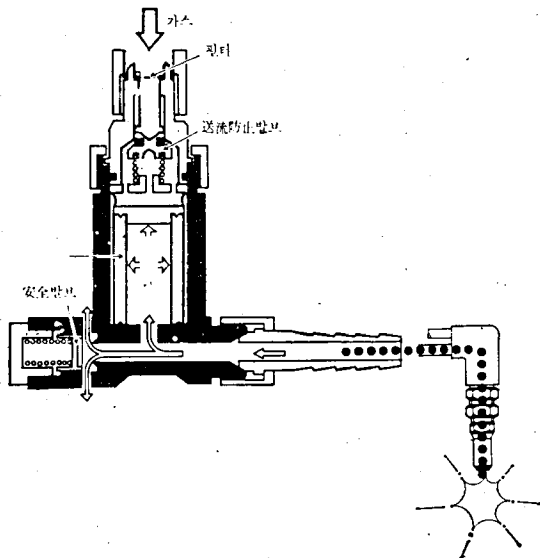


그림 9. 逆火防止装置의 構造例

이 裝置의 基本 構造는 그림 9와 같다. 現在 도 大量의 可燃性가스와 酸素의 混合가스의 爆轟波을 確實하게 阻止할 수 있는 實用的인 乾式 爆轟波 防止裝置는 아직 開發되어 있지 안은 것 이다.

可燃性가스와 空氣 混合가스의 爆轟波에 對하 여는 固體細隙을 쓴것이 多種類 試圖되고 있 다. 그리고 管中의 爆轟波가 갑자기 넓은 空間 으로 나오면 爆轟波가 瞬間의으로 中斷되는 原理 을 利用하는 方法도 쓰여지고 있다(그림 10 參照) 이렇게 하면 爆轟波를 直接 阻止하는데 所要되는 金網 枚數을 切半 以下로 주릴 수가 있고

表 7. 溶接時等 逆火事故가 일어나는 경우

1. 가스 토치(torch)가 老朽 또는 調節밸브가 헐거울 경우
2. 팁(tip)이 老朽하거나 막혔을 경우
3. 가스 容器內의 多孔質物의 粉沫이 토치를 막아 호스의 弱한 部位가 破裂되어 逆火되는 경우
4. 가스 集合設備의 탱크나 配管에 外部衝擊이 加해 졌을 경우等.

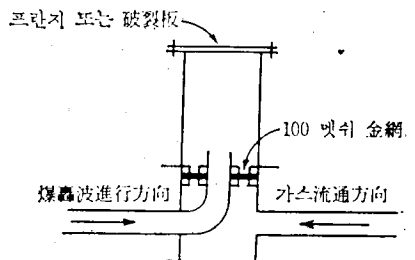


그림 10. 爆轟中斷型爆轟防止器構造

가스의 流通抵抗도大幅 減少 시킬 수 있다.

어떤 種類의 爆轟波 防止裝置에 있어서도 爆轟波를 阻止함과 同時に 未燃燒가스의 供給을 遮斷하는 裝置가 必要하다. 이것이 없으면 一旦 爆轟波가 阻止 되었다 하더라도 團體細隙 表面에서 持續的인 一種의 바나炎이 維持되어 그 狀態가 持續되면 그 消炎素子마저 가스의 發火溫度까지 加熱되어 未燃燒가스에 引火가 될 경우가 생기기 쉽다.

(2) 逆火防止裝置의 性能 基準(美國例) ① 裝置는 燃燒波 또는 爆轟波가 壓力調整器 또는 配管으로 逆流하는 것을 確實하게 防止할 수 있을 것

- (a) 逆流하는 가스를 阻止하는 性能을 具備할 것
- (b) 放出(check)裝置를 具備할 것
- (c) 消炎素子는 金網 燒結金屬 發泡金屬 또는 이와 同等以上의 消炎性能을 具備할 것
- (d) 裝置 通過時의 壓力損失이 적을 것
- (e) 逆火防止후 곤 復元이 可能하여 繼續使用에 支障이 없을 것

結語

爆蘿波의 危險性을 評價함에 있어서 利用한 모든 技術資料을 過少 또는 過大 評價하는 것은

禁物이라 하겠다. 爆蘿波 防止하는 裝置에 對한 檢查는 最惡의 條件下에서 그 性能을 確認한 것 이 아니면 使用하지 말아야 할 必要가 있는 것 이다. 이 分野에 對한 繼續不斷한 加一層의 깊 은 研究가 있어야 할 것이다. <끝>

韓國保險產業 世界 20位 浮上

우리 나라 보험산업이 전세계국별 수입보험료 순위로 세계 20위에 부상한 것으로 밝혀졌다. 6월 11일 韓國保險公社가 입수한 세계적으로 권위있는 보험전문지近着 시그마誌 5월호(스위스·리인슈어런스社발행)에 의하면 우리나라는 지난 79년 연간 거수보험료가 미화 16억 5백만달러로서 세계 20위를 차지한 것으로 나타났다.

시그마誌는 해마다 연간 거수보험료가 1억달러 이상인 보험국의 순위를 발표하고 있는데 우리나라에는 지난 71년 세계 30위에 처음으로 랭크된 이래 매년 상승세를 나타내 72년 29위, 73년 28위, 74년 29위, 75년 28위, 76년 27위, 77년 25위, 78년 22위에서 79년에는 20위를 차지, 국내보험산업이 선진국으로서의 발판을 구축한 것으로 나타났다.

1979年度 全世界主要保險國의 舉收保險料 및 順位

順位	國 家	1979年度 舉收保險料(各國貨幣單位:百萬)				美 1달라 當換率 ¹⁹ U.S.百萬)	總額의 美달라 換算額(單位: U.S.百萬)	世界市場 占有率(%)
		貨幣單位	損害保險	生命保險	合 計			
1	美 國*	U.S.-\$	118,017	57,022	175,039	—	175,039	44.65
2	日 本 ²²	Yen	3,513,306	7,350,898	10,864,204	239.70	45,324	11.56
3	西 獨	DM	42,926	28,697	71,623	1.73	41,401	10.56
4	英 國*	£	5,354	5,717	11,071	0.45	24,602	6.28
5	프 랑 스	F	64,885	23,680	88,565	4.02	22,031	5.62
6	캐 나 다	Can. \$	7,945	5,213	13,158	1.17	11,246	2.87
7	네 헬 란 드	hfl.	9,962	6,568	16,530	1.91	8,654	2.21
8	아 태 리	Lit.	4,735,000	755,000	5,490,000	804.00	6,828	1.74
9	스 위 스	S. Fr.	5,135	5,035	10,170	1.58	6,437	1.64
10	澳 洲	A. \$	3,628	1,804 ²³	5,432	0.90	6,036	1.54
11	스 웨 벤	S.Kr.	11,789	7,719	19,508	4.15	4,701	1.20
12	벨 지 음	B.Fr.	93,724	34,289	128,013	28.05	4,564	1.16
13	스 폐 인	Ptas	189,742	27,825	217,567	66.15	3,289	0.84
14	오 스 트 리 아	Sch.	27,020	8,681	35,701	12.43	2,872	0.73
15	덴 마 크	D.Kr.	8,245	6,840	15,085	5.37	2,809	0.72
16	남 아프리카	Rand	750	1,450	2,200	0.83	2,627	0.67
17	아 르헨 티 나	N. Pes.	3,243,200	172,700	3,415,900	1,618.50	2,111	0.54
18	핀 랜 드	Mk.	2,778	4,654	7,432	3.71	2,003	0.51
19	노 르 웨 이	N. Kr.	6,407	3,244	9,651	4.93	1,958	0.50
20	韓 國	Won	297,089	479,537	776,626	484.00	1,605	0.41